УДК 612.825.571

ФИЗИОЛОГИЯ

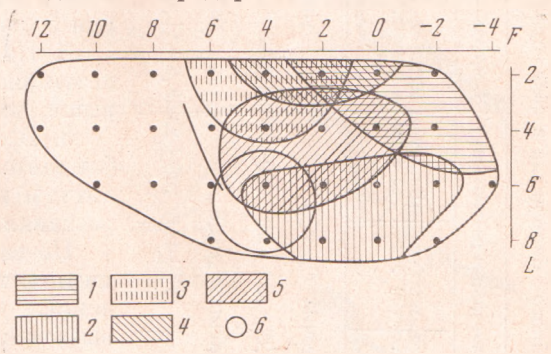
## А. С. БАТУЕВ, член-корреспондент АН СССР А. И. КАРАМЯН

## СЕНСОРНЫЕ ПРОЕКЦИИ В НЕОКОРТЕКСЕ ЕЖЕЙ

При исследовании закономерностей эволюции интегративных систем мозга у домлекопитающих  $\binom{1}{2}$  и млекопитающих  $\binom{3}{4}$ ,  $\binom{4}{5}$  наименее изученными формами являются представители низших плацентарных млекопитающих — насекомоядных (Insectivora). Последние представляют особый интерес, ибо ныне живущие насекомоядные могут рассматриваться как потомки общих предков, давших начало современным млекопитающим — грызунам, хищным и приматам  $\binom{6}{5}$ .

Одними из представителей насекомоядных являются ежи (Erinaceus europeus), сенсорной организации неокортекса которых посвящена лишь одна работа (8). Настоящее исследование предпринято с целью анализа

Рис. 1. Топография проекций афферентных систем в неокортексе ежей. Представлена проекция латерального неокортекса на плоскость стереотаксических координат. Цифрами указаны фронтальные (F) и латеральные (L) смещения отводящего электрода в миллиметрах. 1—свет, 2—звук, 3—ипсилатеральное раздражение, 4—контралатеральное раздражение, 5—раздражение морды, 6—ассоциативная зона



топографии зрительной, слуховой и соматической афферентных систем в коре больших полушарий ежей с попыткой обнаружения зон межсенсор-

пой интеграции (3).

Острые опыты поставлены на 9 взрослых ежах (вес 0.7-1.0 кг) под нембуталовым (60 мг/кг, внутрибрющинно, 4 ежа) или хлоралозовым (70 мг/км, внутрибрющинно, 5 ежей) наркозом. Монополярное отведение биопотенциалов производили от идентифицированных стереотаксически точек коры. Диапазон интенсивности вспышки газоразрядной лампы составлял от 0 до  $600 \times 10^{-3}$  дж, звукового щелчка длительностью 0.5 мсек.—от 0 до 220 в (по показаниям электронного стимулятора), электрокожного удара— от 0 до 150 в. Топографию вызванных потепциалов и распределение их по параметрам определяли при суммировании вызванных потепциалов в идентичных точках коры за все опыты при силе стимуляции в 3 раза больше пороговой.

При вышеуказанных стимуляциях вызванные потенциалы возникают на обширной территории неокортекса. Конфигурация вызванных потенциалов в основном позитивно-негативная, постоянная в одних и тех же точках у разных животных. Параметр максимальной амплитуды вызванных потенциалов как показатель фокуса проекции (ф.п.) сенсорной системы оказался недействительным, так как амплитуды положительной и отрицательной фаз вызванного потенциала имели различные фокусы своей выраженности. В то же время латентный период вызванных потенциалов, также являясь показателем ф.п., позволил выделить в коре определенные локальные зоны проекций различных афферентных систем (рис. 1). Характеристики вызванных потенциалов на примере точек из

٦	o*
	o e
	-0
E	-
	-
	00
	0
	ВНС
	M
	_
	-71
	H
	7
	7
	<b>a</b>
	проекции
	2
	Ħ
	0
	30He
	50
	200
	-
	d
	LIA

Основные параметры вызванного потенциа

	ды	литуда —) фазы, %		235+21		130±10
	Раздражение морды	мплитуца а: :+) фазы, (%	точка $F_{+2} < 6$	241+16	точка $F_{-2} < 6$	106+19
		атентный а период, мсек.	TOE	1 5,0∓8,	TOAL	4,2\pm2,4
	Ипсилатеральное раздражение Контралатеральное раздражение	милитуда л (—) фазы,		143+267		85+193
		амплитуда в (+) фазы,	точка $F_{+2} < 2$	175±19	точка $F_{+8} < 4$	101±7
		латентный амплитуда ампли	TOTES	$33,4\pm20$   $147\pm28$   $195\pm12$   $15,2\pm2,4$   $127\pm21$   $146\pm26$   $12,0\pm1,0$   $123\pm18$   $199\pm27$   $10,8\pm0,4$   $175\pm19$   $143\pm26$   $7,8\pm0,4$   $241\pm16$   $235\pm21$   $2$	TOTES	$62,7\pm9,6  65\pm10    \ 100\pm18    \ 34,4\pm5,5    \ 119\pm20    \ \ 106\pm20    \ 51,7\pm3,0    \ \ 110\pm11    \ \ 108\pm23    \ 48,8\pm11,0    \ \ 101\pm7    \ \ 85\pm19    \ 34,2\pm2,4    \ \ 106\pm19    \ \ 130\pm10    \ \$
	Ипсилатеральное раздражение	(—) фазы,	точка $F_{+6} < 2$	199十27		108十23
		амплитуда (+) фазы,		123土18	точка $F_{+6} < 8$	110+11
		латентный: период, мсек.		12,0+1,0		0,277,15
	Звук	амплитуда (—) фазы,	точка F <sub>+3</sub> < 2	146+26	точка F+8 < 4	106+20
		амплитуда (+) фазы,		127+21		119+20
		латентный период, мсек.		15,2+2,4		34,4+5,5
	CBeT	амплитуда (—) фазы, %	точка $F_0 < 2$	195十12	точка F+6<8	100+18
		амплитуда (+) фазы,		147+28		65±10
		латентный период, мсек.		33,4+20		62,7±9,6
3						

ф.п. и вне его у ежей под хлоралозовым наркозом сведены в табл. 1.

Использование нембуталового наркоза не внесло достоверных изменений в характеристики вызванных потенциалов, кроме некоторого уменьшения числа корковых активных точек и суммарной амплитуды ответов.

Регистрируемые вне ф.п. вызванные потенциалы отличаются от соответствующих вызванных потенциалов, возникающих в фокусе, по следующим па-

раметрам.

1. Если в ф.п. цикл функционального восстановления вызванных потенциалов равен 150—300 мсек., то вне его эта величина составляет 250—600 мсек. В ф.п. вызванные потенциалы возникают при частотах стимуляции до 10 в 1 сек., вне его — практически исчезают при 5 стимулах в 1 сек.

2. Порог возникновения вызванных потепциалов вне фокуса в 1,7—3 раза

выше, чем в ф.п.;

3. В отличие от ф.п., вне его не наблюдается линейной зависимости амплитуды вызванных потенциалов от возрастания интенсивности стимула.

По-видимому, исходя из свойств полисинаптических путей и вышеприведенных данных следует допустить, что вызванные потенциалы, генерирующиеся вне зон ф.п., обусловлены проведением импульсации через большее количество синаптических переключений. На такую возможность указывают также морфологические данные о слабой выраженности таламо-кортикальных олигосинаптических проекций у ежей

(9, 12).

При попытке выяснить наличие общих таламо-кортикальных каналов проведения гетеросенсорной информации, характерных для ассоциативных систем высших животных (10, 11), оказалось, что методом разномодального тестирования удается выделить локальную зону в неокортексе ежей со свойствами ассоциативной коры (рис. 1). В этой зоне возникали ответы на все использованные в наших опытах модальности раздражений, причем соматические ответы на стимуляцию ипси-, контралатеральной передней конечности или участков морды идентичны по конфигурации, амплитуде и латентному периоду (рис. 2, III), чего не отмечалось для остальных корковых зон. В данной зоне на-

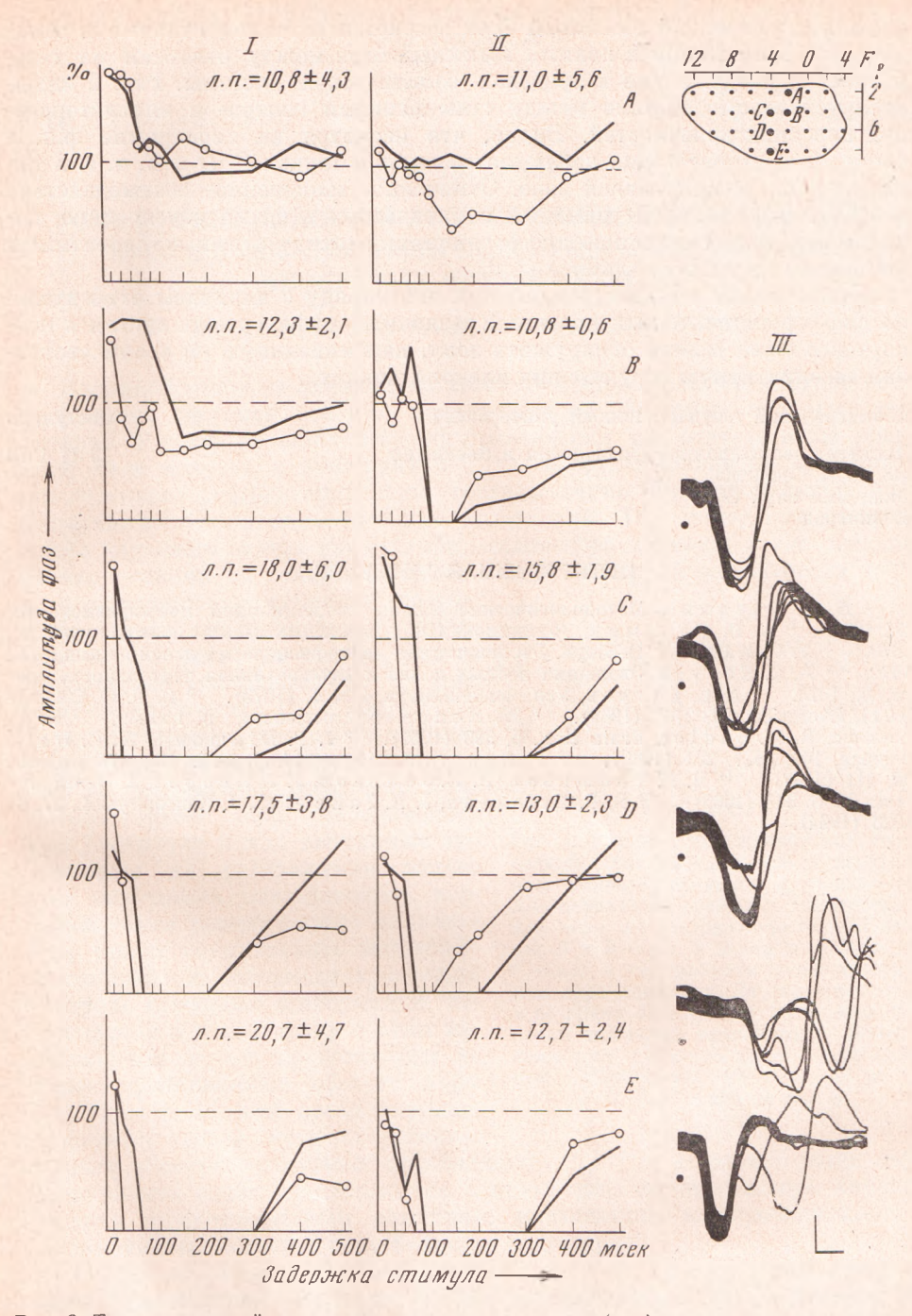


Рис. 2. Типы взаимодействия вызванных потенциалов (в.п.) в различных точках неокортекса ежей при стимуляции ипси- и контралатеральной передней конечности. I — ответ на контралатеральное раздражение (тестирует ипсилатеральное). II — ответ на ипсилатеральное раздражение (тестирует контралатеральное). A, B, C, D, E — точки отведения и соответствующие циклы взаимодействия в.п. в данных точках. Амплитуда положительной фазы (тонкая линия) и отрицательной (толстая линия) в процентах от соответствующей величины при одипочном применении тестирующего стимула, принимаемого за 100%. III — сверху вниз: в.п. в точке D на раздражение морды, контра-, ипсилатеральной конечности, светом и звуком. n.n.— латентный период в мсек. Калибровка: 50 µв, 20 мсек.

блюдался частичный взаимный блок в ответах на телецептивные и соматические стимуляции и полный взаимный блок между ответами на гетеротропное раздражение в пределах соматической системы. Рис. 2 иллюстрирует взаимодействие между стимуляциями контра- и инсилатеральной передних конечностей. Видно, что несмотря на перекрытие ф.п. в точке A, взаимодействие наблюдается лишь в точках C, D и E, т. е. в так называемой ассоциативной зоне. Отмеченное выраженное взаимодействие в коре между телецептивными и соматическим входами обусловлено, повидимому, малой степенью дифференциации между этими афферентными системами на уровне таламуса ( $^{3}$ ,  $^{12}$ ).

Приведенные данные показывают, что наряду с наличием относительпо дифференцированных проекций различных афферентных систем в неокортексе ежей можно обнаружить зону, напоминающую по своим свойст-

вам ассоциативную кору высших млекопитающих.

Ленинградский государственный университет

Поступило 26 II 1973

Институт эволюционной физиологии и биохимии им. И. М. Сеченова Академии наук СССР Ленинград

## ЦИТИРОВАННАЯ ЛИТЕРАТУРА

<sup>4</sup> А. И. Карамян, Методологические основы эволюционной нейрофизиологии, JI., 1969. <sup>2</sup> А. И. Карамян, Функциональная эволюция мозга позвоночных, JI., 1970. <sup>3</sup> А. С. Батуев, В сборн. Эволюционная нейрофизиология и нейрохимия, JI., 1970. <sup>4</sup> А. С. Батуев, Эволюция лобных долей и интегративная деятельность мозга, JI., 1973. <sup>5</sup> А. С. Батуев, Усп. физиол. наук, 4, № 1, (1973). <sup>6</sup> С. В. G. Сам рые II, Evolution, 20, 276 (1969). <sup>7</sup> W. Hodos, Neurosciences, p. 1, 1969. <sup>8</sup> R. A. Lende, R. M. Sadler, Brain Res., 5, 390 (1967). <sup>9</sup> J. P. Diamond, W. C. Hall, Science, 164, 3877, 251 (1969). <sup>10</sup> P. Buser, M. Bignall, Intern. Rev. Neurobiol., 10, 411 (1967). <sup>11</sup> R. F. Thompson, R. H. Johnson, J. J. Hoopes, J. Neurophysiol., 26, 3, 343 (1963). <sup>12</sup> R. P. Erickson, J. A. Jane et al., J. Neurophysiol., 27, 6, 1026 (1964).